

الشمس
الشرقية



دانشگاه اصفهان

دانشکده علوم

گروه زیست شناسی

پایان نامه ی دکتری رشته ی میکروبیولوژی

بررسی مولکولی و اکولوژیکی باکتریهای تجزیه کننده آلکان ها در خلیج
فارس و دریای خزر

استادان راهنما

دکتر گیتی امتیازی

دکتر روحا کسری کرمانشاهی

استادان مشاور

دکتر بیژن بمبئی

دکتر سیمون کاپلو

پژوهشگر

مهدی حسن شاهیان

تیر ماه ۱۳۸۸

آموزش و تدریس
تیمسار پورکاف

۱۳۸۸ / ۱۰ / ۲۷

۱۲۹۸۲۵

کلیه حقوق مادی مترتب بر نتایج مطالعات،
ابتکارات و نوآوری های ناشی از تحقیق موضوع
این پایان نامه متعلق به دانشگاه اصفهان است.



دانشگاه اصفهان

دانشکده علوم

گروه زیست شناسی

پایان نامه ی دکتری رشته ی زیست شناسی - میکروبیولوژی آقای مهدی حسن

شاهیان تحت عنوان

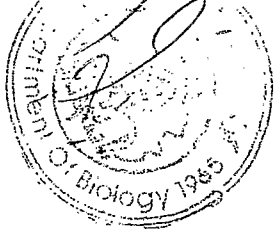
بررسی مولکولی و اکولوژیکی باکتریهای تجزیه کننده آلکان ها در خلیج فارس و

دریای خزر

در تاریخ ۸۸/۴/۳۱ توسط هیأت داوران زیر بررسی و با درجه **بجالی** ... به تصویب نهایی رسید.

امضا	استاد	دکتر گیتی امتیازی با مرتبه ی علمی	۱. استادان راهنمای پایان نامه
امضا	استاد	دکتر روحا کسری کرمانشاهی با مرتبه ی علمی	
امضا	استادیار	دکتر بیژن بمبئی با مرتبه ی علمی	۲. استادان مشاور پایان نامه
امضا	استاد	دکتر سیمون کاپلو با مرتبه ی علمی	
امضا	استادیار	دکتر سید حمید زرکش اصفهانی با مرتبه ی علمی	۳. استادان داور داخل گروه
امضا	دانشیار	دکتر محمد ربانی خوراسگانی با مرتبه ی علمی	
امضا	استاد	دکتر محمد ربانی با مرتبه ی علمی	۴. استادان داور خارج از گروه
امضا	دانشیار	دکتر حاجیه قاسمیان صفایی با مرتبه ی علمی	

امضای مدیر گروه



تقدیم به:

مادر مهربانم

به پاس عاطفه سرشار و گرمای امیدبخش وجودش که در سردترین روز گاران
بهترین پشتیبان است.

و

پدر عزیزم

به پاس قلب بزرگش که فریادرس است و سرگردانی و ترس در پنااهش به
شجاعت می گراید.

تشکر و قدردانی

سپاس خدای را که همواره در جهت نیل به آرزوهایم رنج مسیر را بر من هموار نموده است و سپاس بیکران خدای را که عشق به آموختن و توفیق آنرا به من اعطا فرمود.

دروود بیکران خود را نثار خانواده ام می کنم که با صبر و حوصله آسایش فکری من را فراهم ساختند تا به دور از دغدغه هایی که مانع از پیشرفتم می شدند، تحصیل علم کنم و هرچه دارم از وجود مقدسشان است.

از استاد راهنمای اول، سرکار خانم دکتر گیتی امتیازی که با نهایت دقت و دلسوزی در طی انجام این پایان نامه همراه و مشوقم بودند تشکر می نمایم.

از سرکار خانم دکتر روحا کسری کرمانشاهی، استاد راهنمای دوم، که حضورشان در تک تک لحظه هایم پرثمر، خاطره انگیز و باعث افتخارم بوده است صمیمانه سپاسگزارم.

از استاد مشاور گرامیم، جناب آقای دکتر بیژن بمبئی که در مرکز ملی تحقیقات ژنتیک کمک فراوانی به من نمودند، نهایت تشکر را دارم.

از آقای دکتر کاپلو و تمامی اساتید محترم مرکز تحقیقات میکروبی و بیوتکنولوژی دریا که به مدت ۷ ماه در کشور ایتالیا در پیشرفت این پایان نامه کمک زیادی کردند، کمال تشکر و قدردانی را دارم.

تشکر فراوان دارم از جناب آقای دکتر زرکش و دکتر ربانی که داوری داخل گروه این پایان نامه را تقبل فرمودند. از سرکار خانم دکتر صفایی و جناب آقای دکتر ربانی که داوری خارج گروه این پایان نامه را عهده دار بودند قدردانی می نمایم.

از تمامی اساتید گروه زیست شناسی بویژه اساتید ارجمندم در بخش میکروب شناسی: جناب آقای دکتر زرکش، جناب آقای دکتر بوذری، جناب آقای دکتر روغنیان، جناب آقای دکتر امامی و جناب آقای دکتر نحوی که ۷ سال در محضرشان کسب علم و تجربه کردم کمال تشکر و قدردانی را دارم.

از دوستان و همکلاسی های عزیزم آقایان: رستم زاد، مبینی، شاکری، آشنگروف، قائم مقامی، مهندی، مهدی پور، حسینی و جعفری نیا و خانم ها: خالقی، میرحسینی، اعتمادی فر و حسین خانی قدردانی می نمایم.

چکیده:

هیدروکربن های نفتی مخلوط پیچیده ای هستند و به چهار گروه: ترکیبات اشباع، آروماتیک ها، رزین ها و آسفالتن ها تقسیم بندی می شوند. آلکانها بیش از ۶۰ درصد ترکیب نفت خام را تشکیل می دهند. تجزیه زیستی مشتقات نفتی در محیط های دریایی موثرتر و قوی تر از روش های فیزیکیوشیمیایی است. در این پژوهش جهت جداسازی باکتری های تجزیه کننده نفت ابتدا نمونه برداری از مناطق آلوده در خلیج فارس و دریای خزر بعمل آمد. باکتری های جداسازی شده با روش های بیوشیمیایی و مولکولی شناسایی شدند. صفاتی در این باکتری ها همچون تنفس، تولید بیوفیلم و تجزیه غلظت های مختلف آلکانها با روش میکروتیتر پلیت بررسی شد. میزان حذف نفت و ترکیبات آلکانی با روش گاز کروماتوگرافی برای هر سویه مشخص گردید. حضور گروه های ژنی آلکان هیدروکسیلاز به کمک PCR با پرایمر های ویژه این ژن ها در سویه ها مورد بررسی قرار گرفت. برای درک اثر نفت بر روی دو اکوسیستم خلیج فارس و دریای خزر شمارش تجزیه کننده ها، هتروتروف ها و فعالیت های آنزیمی انجام گرفت. تنوع زیستی در رسوبات آلوده و غیر آلوده دو اکوسیستم با روش PCR-DGGE بررسی گردید. با روش کلون سازی چسبنده ژن سیتوکروم P450 باکتری *Alcanivorax* کلون و به *E. coli* منتقل گردید و پروتئین مربوطه بیان شد. با طراحی آزمایشات در مقیاس مزوکازم با ۱۲ هزار لیتر آب دریا اثرات ارزیابی زیستی و تحریک زیستی بر روی جامعه میکروبی دریایی و تجزیه نفت بررسی شد. در این پژوهش از بین ۳۰ سویه تجزیه کننده نفت جداسازی شده ۱۳ سویه بر اساس حذف نفت بیشتر انتخاب شدند. این سویه ها به جنس هایی همچون *Pseudomonas*, *Alcanivorax*, *Marinobacter*, *Halomonas*, *Microbacterium*, *Acinetobacter*, *Rhodococcus* تعلق داشتند. این باکتری ها قادر به تشکیل بیوفیلم و حداکثر تنفس در غلظت ۱/۵٪ اکتادکان بودند و در طی هفت روز بیش از نیمی از نفت را حذف می کردند. ژن آلکان هیدروکسیلاز گروه (III) از فراوانی بالاتری در این سویه ها نسبت به گروه (II) برخوردار بود. نتایج مطالعات اکولوژیک نشان داد که نفت خام موجب افزایش تعداد تجزیه کننده ها در اکوسیستم های آلوده می شود. این آلودگی نفتی فعالیت آنزیم های دهیدروژناز و لیپاز را افزایش داده در حالیکه موجب کاهش فعالیت آنزیم بتا گلوکوزیداز می گردد. نتایج حاصل از تنوع زیستی در دو اکوسیستم خلیج فارس و دریای خزر نشان داد که گروه های فیلوزنی پس از آلودگی نفتی کاهش یافته و گروه های باکتریایی خاصی غالب می شوند. وجود ژن *alk-B1* باکتری *Alcanivorax* تنها در آب دریایی آلوده هر دو اکوسیستم نشان دهنده امکان استفاده از آن بعنوان اندیکاتور آلودگی نفتی است. آزمایشات کلون سازی ژن *cyt-P450* به *E. coli* ثابت کرد که این ژن وارد وکتور pET-26a گردیده و حضور باند پروتئینی دلالت بر بیان مناسب در میزبان *E. coli* BL21 دارد. آزمایشات در سطح مزوکازم نشان دادند که هر دو تیمار ارزیابی و تحریک زیستی تنوع باکتریایی در آب دریای طبیعی را کاهش می دهد. بهترین حالت تجزیه نفت از تیمار ارزیابی زیستی با باکتری *Alcanivorax* بدست آمد. با بکارگیری این باکتری ها و تلفیق نتایج بدست آمده در مقیاس مزوکازم می توان آلودگی نفتی در محیط های دریایی ایران و بویژه خلیج فارس را به بهترین وجه مدیریت نمود و اثرات آلودگی نفتی را بر این اکوسیستم دریایی کاهش داد.

کلید واژه ها: آلودگی، تجزیه زیستی، باکتری های هیدروکربنوکلاستیکوس، آلکانی ورکس، ارزیابی زیستی

فهرست مطالب

صفحه	عنوان
۱	فصل اول: مقدمه و مروری بر منابع
۱	۱-۱- تعریف اصطلاح ها
۴	۲-۱. آلودگی نفتی
۴	۳-۱. ترکیب نفت خام
۹	۴-۱. آلودگی نفتی در خلیج فارس
۱۰	۵-۱. آلودگی نفتی در دریای خزر
۱۱	۶-۱. عواقب ناشی از آلودگی نفتی
۱۲	۷-۱. واکنش مابین خاک و هیدروکربن های آلیفاتیک
۱۳	۸-۱. انواع میکروارگانسیم های تجزیه کننده هیدروکربن های آلیفاتیک
۱۴	۹-۱. جذب میکروبی هیدروکربن های آلیفاتیک
۱۵	۱۰-۱. راه های متابولیسی هوازی برای هیدروکربن های آلیفاتیک
۱۹	۱۱-۱. ژنتیک تجزیه هیدروکربن های آلیفاتیک
۲۲	۱۲-۱. اکولوژی تجزیه زیستی هیدروکربن ها
۲۵	۱۳-۱. آنزیم آلکان هیدروکسیلاز
۳۰	۱۴-۱. سیتوکروم P450
۳۲	۱۵-۱. کاربردهای بیوتکنولوژیکی متابولیسم هیدروکربن های آلیفاتیک
۳۴	۱۶-۱. باکتری های دریایی تجزیه کننده نفت اجباری: هیدروکربنو کلاستیکوس
۳۷	۱۷-۱. <i>Alcanivorax</i> : الگوی جهانی باکتریهای دسته هیدروکربنو کلاستیکوس
۴۳	۱۸-۱. اهداف تحقیق
۴۴	فصل دوم: مواد و روشها
۴۴	بخش اول: مواد و روشهای مرتبط با آزمایشات فیزیولوژیک
۴۴	۱-۱-۲. محیط های کشت مورد استفاده
۴۶	۲-۱-۲. دستگاههای مورد استفاده
۴۶	۳-۱-۲. نمونه برداری از مناطق آلوده و غیر آلوده در خلیج فارس و دریای خزر
۴۷	۴-۱-۲. جداسازی باکتری های تجزیه کننده نفت خام

صفحه	عنوان
۴۷	۵-۱-۲. جداسازی <i>Alcanivorax</i> از آب دریا
۴۷	۶-۱-۲. شناسایی باکتری‌های جدا شده
۴۸	۷-۱-۲. سنجش حذف نفت خام توسط باکتری‌های جدا شده
۴۹	۸-۱-۲. سنجش هیدروفوبیسیته سطح سلولی
۵۰	۹-۱-۲. سنجش تولید بیوسورفکتانت
۵۱	۱۰-۱-۲. بررسی صفات فیزیولوژیک با روش سنجش در میکروتیتر پلیت
۵۲	۱۱-۱-۲. سنجش آنزیم آلکان هیدروکسیلاز
۵۴	۱۲-۱-۲. بررسی رشد سویه‌های عادی روی هیدروکربن‌های آروماتیک و آلیفاتیک
۵۴	۱۳-۱-۲. اثر برخی شرایط روی تجزیه نفت خام با طراحی تاگوچی
۵۷	۱۴-۱-۲. شناسایی ژن آلکان هیدروکسیلاز گروه (II) و (III) در سویه‌ها
۶۰	۱۵-۱-۲. اثبات وجود ژنهای آلکان هیدروکسیلاز (<i>alk-B1</i>)
۶۲	بخش دوم: مواد و روشهای مرتبط با آزمایشات اکولوژیک
۶۲	۱-۲-۲. طراحی میکروکازم برای رسوبات خلیج فارس و دریای خزر
۶۳	۲-۲-۲. شمارش تعداد کل هتروتروف‌ها، تجزیه‌کننده‌های غیر شورپسند و شورپسند (HCB) در رسوب آلوده و غیر آلوده خلیج فارس و دریای خزر با روش MPN
۶۳	۳-۲-۲. سنجش فعالیت برخی آنزیم‌ها در رسوبات آلوده و غیر آلوده دریای خزر و خلیج فارس
۶۴	۴-۲-۲. استخراج نفت از رسوبات میکروکازم‌ها و سنجش میزان کل هیدروکربن‌ها
۶۵	۵-۲-۲. استخراج DNA از رسوبات
۶۶	۶-۲-۲. خالص‌سازی DNA استخراج شده
۶۶	۷-۲-۲. استخراج DNA از آب دریا
۶۷	۸-۲-۲. تکثیر DNA استخراج شده از آب و رسوب با پرایمرهای عمومی
۶۷	۹-۲-۲. تشخیص ژنهای عملکردی تجزیه‌زیستی در آب دریا و رسوبات

صفحه	عنوان
۶۷	۱۰-۲-۲. مقایسه جامعه باکتریایی در رسوبات آلوده و غیر آلوده خلیج فارس و دریای خزر با DGGE
۶۸	بخش سوم: مواد و روشهای مرتبط با آزمایشات مولکولی (کلونینگ)
۶۸	۱-۳-۲. مواد
۷۱	۳-۳-۲. تکثیر ژن <i>cyt-P450</i>
۷۲	۴-۳-۲. تهیه ژل آگارز و الکتروفورز آن
۷۳	۵-۳-۲. استخراج محصول PCR از ژل آگاروز
۷۳	۶-۳-۲. استخراج پلاسمید pBluescript با استفاده از کیت (Metabion)
۷۴	۷-۳-۲. خطی کردن پلاسمید pBluescrip
۷۵	۸-۳-۲. کلون سازی ژن <i>cyt-P450</i> داخل پلاسمید pBluescript (کلون سازی بلانت)
۷۵	۹-۳-۲. تهیه سلولهای مستعد برای پذیرش DNA پلاسمیدی خارجی
۷۶	۱۰-۳-۲. انتقال پلاسمید به سلول های مستعد
۷۷	۱۱-۳-۲. غربال کردن کلون های نو ترکیب در محیط کشت LB آگار حاوی Xgal-IPTG
۷۷	۱۲-۳-۲. اثبات کلون سازی
۷۷	۱۳-۳-۲. تعیین ترتیب قرار گیری ژن <i>cyt-P450</i> درون پلاسمید pBluescript
۷۸	۱۴-۳-۲. برش آنزیمی پلاسمید pET-26a و پلاسمید نو ترکیب pBluescript
۷۸	۱۵-۳-۲. کلون سازی چسبنده، انتقال ژن <i>cyt-P450</i> به پلاسمید pET-26a
۷۹	۱۶-۳-۲. انتقال pET-26a نو ترکیب به میزبان بیانی (<i>E. coli</i> BL-21)
۷۹	۱۷-۳-۲. کشت باکتری برای بررسی بیان پروتئین
۸۲	۱۹-۳-۲. سنجش فعالیت آنزیم نو ترکیب Cyt-P450
۸۴	بخش چهارم: مواد و روشهای مرتبط با آزمایشات ارزیابی زیستی در سطح مزوکازم
۸۴	۱-۴-۲. مشخصات مزوکازم مورد استفاده
۸۶	۲-۴-۲. طراحی آزمایشات در مزوکازم
۸۷	۳-۴-۲. تهیه کشت باکتریایی جهت تلقیح به مزوکازم
۸۷	۴-۴-۲. نمونه برداری از مزوکازم و شاخص های مورد بررسی در هر نمونه برداری

صفحه	عنوان
۸۸	۵-۴-۲. آنالیز مقدار نفت باقیمانده با روش GC-MS
۸۸	۶-۴-۲. شمارش تعداد باکتری های هتروتروف (CFU)
۸۸	۷-۴-۲. شمارش تعداد حداکثر احتمالی باکتری های تجزیه کننده (MPN)
۸۸	۸-۴-۲. شمارش تعداد کل باکتری ها (زنده و مرده)
۸۹	۹-۴-۲. سنجش نیاز اکسیژن بیولوژیکی (BOD)
۸۹	۱۰-۴-۲. سنجش آنزیمی
۸۹	۱۱-۴-۲. استخراج همزمان DNA و RNA از نمونه های مزوکازم با استفاده از کیت کیاژن
۹۱	۱۲-۴-۲. حذف DNA ژنومی از RNA استخراج شده با کیت Turbo DNA Free
۹۲	۱۳-۴-۲. واکنش نسخه برداری معکوس (RT) و ایجاد cDNA
۹۳	۱۴-۴-۲. بررسی دینامیک مولکولی جامعه باکتریایی دریایی در مزوکازم با روش PCR-DGGE
۹۸	۱۵-۴-۲. انجام واکنش PCR-DGGE
۹۸	۱۶-۴-۲. تعیین توالی باند های ژل DGGE
۹۹	۱۷-۴-۲. غربالگری حضور ژنهای عملکردی در نمونه های مزوکازم
۱۰۱	۱۸-۴-۲. بررسی بیان ژن های عملکردی با (QRT-PCR)
۱۰۷	فصل سوم: نتایج
۱۰۸	بخش اول: نتایج مربوط به آزمایشات فیزیولوژیک
۱۰۸	۱-۱-۳. جداسازی باکتری های تجزیه کننده ی نفت خام: خصوصیات باکتری ها و محل جداسازی
۱۱۲	۲-۱-۳. انتخاب سویه های برتر با غربالگری رشد در نفت خام
۱۱۲	۳-۱-۳. شناسایی سویه های قوی در تجزیه نفت
۱۱۷	۲-۳-۱-۳. شناسایی مولکولی
۱۲۲	۴-۱-۳. رشد و حذف نفت خام توسط سویه ها
۱۲۳	۵-۱-۳. طیف های گاز کروماتوگرافی حذف نفت خام بوسیله سویه ها
۱۳۰	۶-۱-۳. درصد تجزیه هر یک از آلکان ها حاضر در نفت خام توسط سویه های تجزیه کننده

صفحه	عنوان
	۳-۱-۷- نتایج حاصل از تولید بیوسورفکتانت، هیدروفوبیسته سطح سلول، فعالیت
۱۳۲	امولسیونه‌کنندگی و کاهش کشش سطحی بوسیله سویه های تجزیه کننده نفت خام
	۳-۱-۸- میزان رشد، تنفس و بیوفیلم سویه ها در غلظت های مختلف از آلکان های متفاوت
۱۳۴	با روش میکروتیتر پلیت
۱۳۸	۳-۱-۹- اثر غلظت نفت خام روی رشد چهار سویه
۱۴۰	۳-۱-۱۰- نتایج حاصل از فعالیت آنزیم آلکان هیدروکسیلاز
۱۴۲	۳-۱-۱۱- رشد روی هیدروکربن های آلیفاتیک و آروماتیک
۱۴۳	۳-۱-۱۲- بهینه سازی تجزیه نفت با روش تاگوچی
۱۵۱	۳-۱-۱۳. وجود ژنهای گروه (II) و (III) آلکان هیدروکسیلاز در سویه های ایزوله شده
	۳-۱-۱۴. حضور ژن های آلکان هیدروکسیلاز (<i>alk-B1</i>) و سیتوکروم منواکسیژناز در سویه
۱۵۷	<i>Alcanivorax</i> PG-12
۱۵۹	بخش دوم: نتایج مربوط به آزمایشات اکولوژیک
۱۵۹	۳-۲-۱. مشخصات فیزیکی و شیمیایی رسوبات
	۳-۲-۲. نتایج حاصل از MPN باکتری های هتروترف و تعداد تجزیه کننده ها در میکروکازم
۱۶۰	دو اکوسیستم
۱۶۱	۳-۲-۳. فعالیت آنزیمی در رسوبات آلوده و غیر آلوده دو اکوسیستم
۱۶۲	۳-۲-۴. میزان کل هیدروکربن ها (TPH) در هر میکروکازم
	۳-۲-۵. استخراج DNA از رسوبات: تعیین کمیت، خلوص و قابل تکثیر بودن آن با ژن های
۱۶۷	عمومی (16S rDNA)
۱۶۹	۳-۲-۶. نتایج حاصل از تنوع زیستی در جامعه میکروبی رسوبات با روش DGGE
۱۷۰	۳-۲-۷. تجزیه و تحلیل آماری نتایج ژل DGGE
	۳-۲-۸. بررسی وجود ژن های عملکردی آلکان هیدروکسیلاز گروه (II) و (III) در رسوبات
۱۷۵	دو اکوسیستم
۱۷۸	۳-۲-۹. تشخیص آلودگی نفتی با ژن <i>alk-B1</i> از باکتری <i>Alcanivorax</i>
۱۸۰	بخش سوم: نتایج مربوط به آزمایشات مولکولی (کلونینگ)

صفحه	عنوان
۱۸۰	۱-۳-۳. تکثیر ژن <i>cyt-P450</i>
۱۸۱	۲-۳-۳. انتخاب وکتور مناسب
۱۸۱	۳-۳-۳. استخراج محصول PCR از ژل آگاروز
۱۸۲	۴-۳-۳. استخراج پلاسمید pBluescript از باکتری <i>E. coli</i> DH5 α و خطی کردن آن
۱۸۳	۵-۳-۳. کلون سازی بلانت ژن <i>cyt-P450</i> داخل پلاسمید pBluescript و ترانسفورماسیون آن در باکتری <i>E. coli</i> DH5 α
۱۸۴	۶-۳-۳. غربال کلونی های نو ترکیب
۱۸۵	۷-۳-۳. بررسی کلنی های نو ترکیب توسط PCR
۱۸۶	۸-۳-۳. ترتیب قرار گیری ژن <i>cyt-P450</i> در پلاسمید pBluescript
۱۸۸	۹-۳-۳. آماده سازی پلاسمید pET-26a جهت کلون کردن ژن <i>cyt-P450</i>
۱۸۹	۱۰-۳-۳. کلون سازی چسبنده: انتقال ژن <i>cyt-P450</i> به پلاسمید pET-26a
۱۸۹	۱۱-۳-۳. غربال کردن کلونهای حاوی پلاسمید نو ترکیب pET-26-Cyt
۱۹۰	۱۲-۳-۳. کلنی PCR و تایید ترانسفورماسیون
۱۹۰	۱۳-۳-۳. انتقال پلاسمید نو ترکیب pET-26-Cyt به <i>E. coli</i> BL-21 جهت بیان
۱۹۱	۱۴-۳-۳. بیان ژن <i>cyt-P450</i> در <i>E. coli</i> BL-21
۱۹۲	۱۵-۳-۳. اثبات داخل سلولی بودن پروتئین نو ترکیب Cyt-P450
۱۹۳	۱۶-۳-۳. سنجش فعالیت آنزیمی. پروتئین نو ترکیب Cyt-P450
۱۹۶	بخش چهارم: نتایج مربوط به آزمایشات ارزیابی زیستی در مقیاس مزوکازم
۱۹۶	۱-۴-۳. تعداد کل هتروتروف ها در هر سه مزوکازم
۱۹۶	۲-۴-۳. تعداد باکتری های تجزیه کننده نفت در هر سه مزوکازم
۱۹۷	۳-۴-۳. تعداد کل باکتری ها (زنده و مرده) در هر سه مزوکازم
۱۹۸	۴-۴-۳. نیاز اکسیژن بیولوژیکی (BOD) در هر سه مزوکازم
۲۰۰	۵-۴-۳. میزان درصد باکتری های قابل کشت در مقایسه با کل باکتری ها
۲۰۱	۶-۴-۳. میزان درصد باکتری های تجزیه کننده نفت در مقایسه با کل باکتری ها
۲۰۲	۷-۴-۳. رابطه بین نیاز اکسیژن بیولوژیکی با تعداد کل توده باکتریایی

عنوان

صفحه

۲۰۳	۳-۴-۸. سنجش آنزیمی مزوکازم ها
۲۰۵	۳-۴-۹. منحنی رشد <i>Alcanivorax</i> و <i>Thalassolituus</i>
۲۰۷	۳-۴-۱۰. نتایج مزوکازم اول، مزوکازم ارزیابی زیستی کشت منفرد
۲۰۷	۳-۴-۱۰-۱. تجزیه زیستی نفت در طول دوره زمانی مزوکازم
۲۰۹	۳-۴-۱۰-۲. میزان DNA استخراج شده از نمونه ها
۲۰۹	۳-۴-۱۰-۳. انجام PCR با پرایمرهای 16S rDNA بر روی DNA استخراج شده از نمونه های مزوکازم
۲۱۰	۳-۴-۱۰-۴. بررسی دینامیک جمعیتی باکتریایی مزوکازم با روش PCR-DGGE
۲۱۱	۳-۴-۱۰-۵. شباهت جمعیتی جامعه میکروبی در زمان های مختلف نمونه برداری
۲۱۳	۳-۴-۱۰-۶. شاخص های تنوع زیستی مزوکازم
۲۱۴	۳-۴-۱۰-۷. گروه های باکتریایی حاضر در مزوکازم
۲۱۴	۳-۴-۱۰-۸. فیلوژنی جمعیت باکتریایی مزوکازم
۲۱۶	۳-۴-۱۱. نتایج مزوکازم دوم، مزوکازم تحریک زیستی
۲۱۶	۳-۴-۱۱-۱. تجزیه زیستی نفت در طول دوره زمانی مزوکازم
۲۱۸	۳-۴-۱۱-۲. میزان DNA استخراج شده از نمونه ها
۲۱۸	۳-۴-۱۱-۳. انجام PCR با پرایمرهای 16S rDNA بر روی DNA استخراج شده از نمونه های مزوکازم
۲۱۹	۳-۴-۱۱-۴. بررسی دینامیک جمعیتی باکتریایی مزوکازم با روش PCR-DGGE
۲۲۰	۳-۴-۱۱-۵. شباهت جمعیتی جامعه میکروبی در زمان های مختلف نمونه برداری
۲۲۲	۳-۴-۱۱-۶. شاخص های تنوع زیستی مزوکازم
۲۲۲	۳-۴-۱۱-۷. گروه های باکتریایی حاضر در مزوکازم
۲۲۳	۳-۴-۱۱-۸. فیلوژنی جمعیت باکتریایی مزوکازم
۲۲۵	۳-۴-۱۲. نتایج مزوکازم سوم، مزوکازم ارزیابی زیستی با کشت مخلوط
۲۲۵	۳-۴-۱۲-۱. تجزیه زیستی نفت در طول دوره زمانی مزوکازم
۲۲۷	۳-۴-۱۲-۲. میزان DNA استخراج شده از نمونه ها

صفحه	عنوان
۲۲۷	۳-۴-۱۲-۳. انجام PCR با پرایمرهای 16S rDNA بر روی DNA استخراج شده از نمونه های مزوکازم
۲۲۸	۳-۴-۱۲-۴. بررسی دینامیک جمعیتی باکتریایی مزوکازم با روش PCR-DGGE
۲۲۹	۳-۴-۱۲-۵. شباهت جمعیتی جامعه میکروبی در زمان های مختلف نمونه برداری
۲۳۱	۳-۴-۱۲-۶. شاخص های تنوع زیستی مزوکازم
۲۳۱	۳-۴-۱۲-۷. گروه های باکتریایی حاضر در مزوکازم
۲۳۲	۳-۴-۱۲-۸. فیلوژنی جمعیت باکتریایی مزوکازم
۲۳۲	۳-۴-۱۳. مقایسه شباهت سه مزوکازم به همدیگر
۲۳۳	۳-۴-۱۴. مقایسه میزان تنوع زیستی در سه مزوکازم
۲۳۴	۳-۴-۱۵. مقایسه میزان حذف نفت در سه مزوکازم
۲۳۵	۳-۴-۱۶. نتایج حاصل از غربالگری ژن های عملکردی در نمونه های DNA و cDNA هر سه مزوکازم
۲۳۷	۳-۴-۱۷. بررسی بیان ژن های عملکردی با QRT-PCR
۲۳۷	۳-۴-۱۷-۱. تیمار RNA با DNase
۲۳۷	۳-۴-۱۷-۲. میزان cDNA سنتز شده توسط واکنش نسخه بردار معکوس
۲۳۸	۳-۴-۱۷-۳. منحنی استاندارد ژن <i>alk-B1</i> باکتری <i>Alcanivorax</i> و ژن <i>alk-BT</i> باکتری <i>Thalassolituus</i>
۲۳۹	۳-۴-۱۷-۴. گراف تکثیر ژن <i>alk-B1</i> و <i>alk-BT</i>
۲۴۰	۳-۴-۱۷-۵. آنالیز منحنی ذوب دو ژن <i>alk-B1</i> و <i>alk-BT</i>
۲۴۱	۳-۴-۱۷-۶. ژل الکتروفورز محصول QRT-PCR
۲۴۲	۳-۴-۱۷-۷. بیان ژن <i>alk-B1</i> باکتری <i>Alcanivorax</i> در سه مزوکازم
۲۴۳	۳-۴-۱۷-۸. بیان ژن <i>alk-BT</i> باکتری <i>Thalassolituus</i> در مزوکازم سوم
۲۴۴	۳-۴-۱۷-۹. مقایسه بیان ژن <i>alk-B1</i> و ژن <i>alk-BT</i> در مزوکازم سوم
۲۴۶	فصل چهارم: بحث و نتیجه گیری
۲۴۶	بخش اول: بحث مربوط به آزمایشات فیزیولوژیک
۲۴۶	۱-۴. غربالگری باکتری های تجزیه کننده نفت خام از محیط های گوناگون

- ۲-۴. جداسازی باکتری های تجزیه کننده نفت شور پسند
۲۴۸
- ۳-۴. مخمرهای تجزیه کننده نفت خام
۲۴۹
- ۴-۴. حذف نفت خام توسط باکتری های تجزیه کننده
۲۴۹
- ۵-۴. رابطه بین تولید بیوسورفکتانت، هیدروفوبیسیته سطح سلولی و تجزیه هیدروکربن های نفتی
۲۵۰
- ۶-۴. روش میکروتیترپلیت جهت بررسی رشد، تنفس و تشکیل بیوفیلم باکتری های تجزیه کننده آلاینده ها
۲۵۲
- ۶-۴. فعالیت آنزیم آلکان هیدروکسیلاز
۲۵۳
- ۷-۴. اثر عوامل بر روی تجزیه نفت (طراحی تاگوچی)
۲۵۴
- ۸-۴. توزیع ژنهای آلکان هیدروکسیلاز در بین باکتری های تجزیه کننده هیدروکربن ها
بخش دوم: بحث مربوط به نتایج آزمایشات اکولوژیک
۲۵۷
- ۹-۴. اثر نفت بر روی فعالیت های میکروبی رسوبات دریایی با مقایسه دو اکوسیستم خلیج فارس و دریای خزر
۲۵۷
- ۱۰-۴. رابطه بین هیدروکربن های باقیمانده با فعالیت های آنزیمی
۲۶۰
- ۱۱-۴. تنوع زیستی در رسوبات آلوده و غیر آلوده
۲۶۰
- ۱۲-۴. حضور ژنهای آلکان هیدروکسیلاز گروه (II) و (III) در رسوبات خلیج فارس و دریای خزر
۲۶۲
- ۱۳-۴. ژن *alk-B1* باکتری *Alcanivorax* بعنوان حسگر تشخیص آلودگی نفتی
بخش سوم: بحث مربوط به نتایج آزمایشات مولکولی (کلونینگ)
۲۶۵
- ۱۴-۴. ژنهای مسئول تجزیه زیستی در *Alcanivorax*
۲۶۵
- ۱۵-۴. کلون سازی ژنهای آلکان هیدروکسیلاز
۲۶۶
- ۱۶-۴. ژنهای کلون سازی شده مسئول تجزیه زیستی در *Alcanivorax*
۲۶۶
- ۱۷-۴. کلونینگ ژنهای *cyt-P450*
۲۶۷
- ۱۸-۴. بیان و سنجش آنزیم سیتوکروم P450 کلون شده
۲۶۹

۲۷۱	بخش چهارم : بحث مرتبط با آزمایشات مزوکازم
۲۷۱	۱۹-۴. جایگاه مطالعات مزوکازم در بررسی تجزیه زیستی و اکولوژی میکروبی
۲۷۱	۲۰-۴. پاسخ جامعه باکتریایی دریایی به آلودگی نفتی
۲۷۳	۲۱-۴. تنوع در جوامع میکروبی دریایی
۲۷۴	۲۲-۴. اثر ارزیابی زیستی روی جامعه میکروبی و تجزیه زیستی نفت
۲۷۶	۲۳-۴. اثر تحریک زیستی روی جامعه میکروبی و تجزیه زیستی نف
	۲۴-۴. مقایسه کارایی ارزیابی زیستی با تحریک زیستی در تجزیه نفت در سطح مزوکازم و
۲۷۷	اثر آنها بر روی جامعه میکروبی دریایی
	۲۵-۴. تعیین کمیت ژنهای تجزیه کننده در مطالعات ارزیابی و تحریک زیستی با Real
۲۷۸	(QRT-PCR) Time PCR
۲۸۱	۲۶-۴. آیا می توان نتایج آزمایشات در مقیاس مزوکازم را به سطح میدانی توسعه داد؟
۲۸۲	۲۷-۴. نتیجه گیری کلی
۲۸۳	۲۸-۴. پیشنهادات
۲۸۴	فصل پنجم: منابع

فهرست شکل ها

صفحه	عنوان
۶	شکل ۱-۱: ساختمان آلکانها
۷	شکل ۲-۱: ساختمان سیکلو آلکانها
۷	شکل ۳-۱: ساختمان آروماتیک ها
۸	شکل ۴-۱: ساختار مولکولی آسفالتن
۹	شکل ۵-۱: ساختار مولکولی رزین
۱۳	شکل ۶-۱: واکنش بین بافت خاک و هیدروکربن های آلیفاتیک
۱۷	شکل ۷-۱: مسیر هوازی تجزیه آلکان ها
۱۸	شکل ۸-۱: متابولیسم آلکان های با زنجیره منشعب
۱۹	شکل ۹-۱: مسیر ژنتیکی تجزیه آلکانها
	شکل ۱۰-۱: نمای شماتیک از تجزیه آلکان ، موقعیت و عمل محصول ژن های <i>alk</i>
۲۲	شکل ۱۱-۱: زنجیره تجزیه زیستی میکروبی
۲۶	شکل ۱۲-۱: دامنه سوبسترای آلکان هیدروکسیلاز در ارتباط با طول زنجیره آلکانی
۲۷	شکل ۱۳-۱: سیستم انتقال الکترون در آلکان هیدروکسیلاز
۲۸	شکل ۱۴-۱: ساختار آلکان هیدروکسیلاز
۲۹	شکل ۱۵-۱: سازماندهی ژن های <i>alk</i> در باکتری های مختلف
۳۲	شکل ۱۶-۱: چرخه واکنش سیتوکروم P450
۴۰	شکل ۱۷-۱: تصویر شماتیک ژنوم <i>A. bukimensis</i>
۴۱	شکل ۱۸-۱: شماتیک کلی از مسیرهای متابولیسمی و انتقال در <i>A. bukimensis</i>
۷۴	شکل ۱-۳-۲: نقشه ژنتیکی پلاسمید pBluescript
۷۹	شکل ۲-۳-۲: نقشه ژنتیکی پلاسمید pET-26a
۸۵	شکل ۱-۴-۲: تصویر شماتیک مزوکازم
۸۶	شکل ۲-۴-۲: تصویر واقعی مزوکازم
۹۷	شکل ۴-۴-۲: مراحل ساخت ژل
۱۰۱	شکل ۵-۴-۲: مراحل یک واکنش QRT-PCR
۱۰۵	شکل ۶-۴-۲: شماتیک طراحی میکروپلیت QRT-PCR
۱۱۷	شکل ۱-۱-۳: تصویر ژل الکتروفورز تکثیر ژن 16S rDNA جهت شناسایی مولکولی

- شکل ۳-۱-۲ طیف گاز کروماتوگرافی شاهد
۱۲۳
- شکل ۳-۱-۳: طیف گاز کروماتوگرافی سویه PG-3
۱۲۴
- شکل ۳-۱-۴: طیف گاز کروماتوگرافی سویه BS
۱۲۴
- شکل ۳-۱-۵: طیف گاز کروماتوگرافی سویه PG-11
۱۲۵
- شکل ۳-۱-۶: طیف گاز کروماتوگرافی سویه PG-24
۱۲۵
- شکل ۳-۱-۷: طیف گاز کروماتوگرافی سویه PG-31
۱۲۶
- شکل ۳-۱-۸: طیف گاز کروماتوگرافی سویه PG-26
۱۲۶
- شکل ۳-۱-۹: طیف گاز کروماتوگرافی سویه PG-39
۱۲۷
- شکل ۳-۱-۱۰: طیف گاز کروماتوگرافی سویه PG-12
۱۲۷
- شکل ۳-۱-۱۱: طیف گاز کروماتوگرافی سویه PG-20
۱۲۸
- شکل ۳-۱-۱۲: طیف گاز کروماتوگرافی سویه AS
۱۲۸
- شکل ۳-۱-۱۳: طیف گاز کروماتوگرافی سویه PG-32
۱۲۹
- شکل ۳-۱-۱۴: طیف گاز کروماتوگرافی سویه CS-2
۱۲۹
- شکل ۳-۱-۱۵: طیف گاز کروماتوگرافی سویه CS-12
۱۳۰
- شکل ۳-۱-۱۶: اثر غلظت های مختلف آلکانها روی میزان رشد چهار سویه باکتریایی
۱۳۵
- شکل ۳-۱-۱۷: اثر غلظت های مختلف آلکانها روی میزان تنفس چهار سویه باکتریایی
۱۳۶
- شکل ۳-۱-۱۸: اثر غلظت های مختلف آلکانه روی تشکیل بیو فیلم چهار سویه باکتریایی
۱۳۷
- شکل ۳-۱-۱۹: حذف نفت خام بوسیله سویه ها
۱۳۸
- شکل ۳-۱-۲۰: طیف اسپکتروفتومتری حاصل از فعالیت آنزیم آلکان هیدروکسیلاز
۱۴۱
- شکل ۳-۱-۲۱: میانگین اثر دما روی تجزیه زیستی نفت
۱۴۳
- شکل ۳-۱-۲۲: میانگین اثر منبع نیتروژن روی تجزیه زیستی نفت
۱۴۴
- شکل ۳-۱-۲۳: میانگین اثر سورفکتانت شیمیایی روی تجزیه زیستی نفت
۱۴۵
- شکل ۳-۱-۲۴: میانگین اثر غلظت نفت روی تجزیه زیستی نفت
۱۴۶
- شکل ۳-۱-۲۵: میانگین اثر نوع سویه و کشت مخلوط روی تجزیه زیستی نفت
۱۴۷
- شکل ۳-۱-۲۶: میانگین اثر منبع کربن اضافی روی تجزیه زیستی نفت
۱۴۸

صفحه	عنوان
۱۵۳	شکل ۳-۱-۲۷: تصویر ژل الکتروفورز PCR سویه‌ها با پرایمرهای گروه (II) آلکان هیدروکسیلاز
۱۵۴	شکل ۳-۱-۲۸: تصویر ژل الکتروفورز PCR سویه‌ها با پرایمرهای گروه (III) آلکان هیدروکسیلاز
۱۵۵	شکل ۳-۱-۲۹: تصویر ژل الکتروفورز PCR سویه‌ها با پرایمرهای گروه (II) و (III) آلکان هیدروکسیلاز
۱۵۶	شکل ۳-۱-۳۰: درصد فراوانی گروه های ژنی (II) و (III) آلکان هیدروکسیلاز در سویه های تجزیه
۱۵۶	شکل ۳-۱-۳۱: فراوانی گروه های ژنی (II) و (III) آلکان هیدروکسیلاز در خلیج فارس و دریای خزر
۱۵۷	شکل ۳-۱-۳۲: تصویر ژل الکتروفورز PCR سویه PG-12 با پرایمرهای آلکان هیدروکسیلاز
۱۵۸	شکل ۳-۱-۳۳: تصویر ژل الکتروفورز PCR سویه PG-12 با پرایمرهای سیتوکروم P450 منواکسیژناز
۱۶۳	شکل ۳-۲-۱: طیف گاز کروماتوگرافی رسوبات آلوده به نفت دریای خزر
۱۶۴	شکل ۳-۲-۲: طیف گاز کروماتوگرافی رسوبات غیر آلوده به نفت دریای خزر
۱۶۵	شکل ۳-۲-۳: طیف گاز کروماتوگرافی رسوبات آلوده به نفت خلیج فارس
۱۶۶	شکل ۳-۲-۴: طیف گاز کروماتوگرافی رسوبات غیر آلوده به نفت خلیج فارس
۱۶۸	شکل ۳-۲-۵: تصویر ژل الکتروفورز تکثیر ژن 16S rDNA بر روی DNA استخراج شده میکروکازم ها
۱۷۱	شکل ۳-۲-۶: تصویر ژل DGGE از محصول PCR حاصل از تکثیر DNA استخراج شده از میکروکازم
۱۷۴	شکل ۳-۲-۷: گراف شاخه ای از شباهت جمعیتی جامعه میکروبی رسوبات
۱۷۴	شکل ۳-۲-۸: گراف دو بعدی از شباهت جمعیتی جامعه میکروبی رسوبات
۱۷۶	شکل ۳-۲-۹: تصویر ژل الکتروفورز محصول PCR حاصل از تکثیر DNA استخراج شده از میکروکازم
۱۷۷	شکل ۳-۲-۱۰: تصویر ژل الکتروفورز محصول PCR حاصل از تکثیر DNA استخراج شده از میکروکازم
۱۷۹	شکل ۳-۲-۱۱: ژل الکتروفورز محصول PCR DNA با پرایمرهای ژن <i>alk-B1</i> از <i>Alcanivorax</i>